



## طراحی و تحلیل فضای کاری، نقاط تکین و پیکربندی یک ربات موازی جدید چهار درجه آزادی

مرضیه رجبی<sup>۱\*</sup>، مهران محبوب خواه<sup>۲</sup>

۱- کارشناس ارشد، مهندسی مکانیک ساخت و تولید، دانشکده فنی مهندسی مکانیک، دانشگاه تبریز، تبریز

۲- دانشجو، مهندسی مکانیک، دانشگاه تبریز، تبریز

\* البرزی، صندوق پستی ۱۴۷۷، ۵۱۶۶۶۱۴۷۷ Tabriz, Iran, mahboobkhah@tabrizu.ac.ir

### چکیده

در این تحقیق مکانیزم ربات موازی چهار درجه آزادی جدید مورد مطالعه قرار گرفته است. از مهمترین نکات طراحی یک ربات موازی بdst آوردن فضای کاری مفید و نقاط تکین آن می‌باشد. در ابتدا با استفاده از روابط سینماتیک معکوس، موقعیت اجزاء ربات بdst آوردن فضای کاری ربات، با توجه به محدودیت‌های همچون نقاط تکین که در مکانیزم‌های موازی وجود دارد، بdst آمده است. در این مقاله برای به حداقل رساندن این نقاط در فضای کاری، پیکربندی‌های مختلف مورد ارزیابی قرار گرفته است. برای بررسی کیفیت فضای کاری از تحلیل ماتریس ژاکوبین استفاده شده است. همچنین با روش تفکیک نقاط فضای کاری، تمام این فضا به صورت نواحی طبقه‌بندی شده با ضرایب چالاکی محلی مختلف با برنامه نویسی در محیط متلب بdst آمده است. در پیکربندی مکانیزم پیشنهادی، عدم تقارن اجزا باعث بهبود کیفیت عملکرد ربات و کاهش نقاط تکین در فضای کاری می‌شود. در این تحقیق، ساختار مکانیزم طوری طراحی شده که علیرغم عدم تقارن اجزاء یاد شده، فضای کاری متقاضی با سفتی و چالاکی بالا بdst آید.

**کلیدوازگان:** فضای کاری، نقاط تکین، آنالیز ژاکوبین، چالاکی

## Design and analysis of workspace, singularities and configuration of a new parallel robot with four degrees of freedom

Marzieh Rajabi<sup>1\*</sup>, Mehran Mahboubkhah<sup>2</sup>

1- Mechanical engineering, Tabriz University, Tabriz, Iran.

2- Department of Mechanical Engineering, Tabriz University, Tabriz, Iran

\* P.O.B. 516661477 Tabriz, Iran, mahboobkhah@tabrizu.ac.ir

### ABSTRACT

In this research, a new parallel robot with four degrees of freedom is studied. The key important design stages of a parallel robot are obtaining its workspace and singularities. At first, the positions of the robot components were calculated using the inverse kinematic relations. Then, the workspace of the parallel mechanism has been obtained considering the limitations such as singularities. In this paper, various configurations have been analyzed to minimize these points in the workspace. Analysis of Jacobian matrix was used to assess the quality of the workspace. Also, by separating the workspace to some regions using a program that was written in Matlab, all of them are classified as areas with different coefficients of the local Dexterity. As a result, it was seen that asymmetry of the components can improve the performance of robot and reduce the singular points at the proposed robot configuration. Despite of asymmetry of the workspace, the structure of mechanism has been designed in order to obtain the highest rigidity and dexterity.

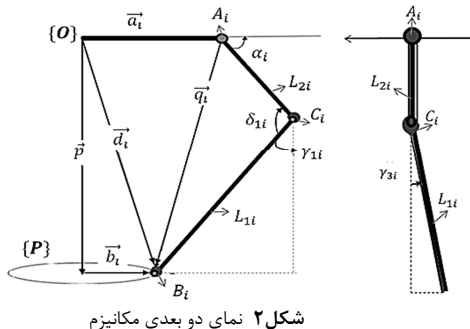
**Keywords:** Dexterity, Jacobian Analysis, Singularity, Workspace.

### ۱- مقدمه

یک مکانیزم موازی از یک صفحه متحرک و یک پایه ثابت، تشکیل شده است که حداقل با دو زنجیره سینماتیکی سری به طور موازی به یکدیگر اتصال دارند [۱]. نمونه‌ای از این ساختار توسط جیوانی در سال ۱۹۲۸ برای استفاده به عنوان سکوی سالن تئاتر پیشنهاد داده شده است [۲]. در اواسط قرن بیست نیز مکانیزم ۶ درجه آزادی به طور جداگانه توسط گو و استوارت به ترتیب به منظور تست استهلاک و شبیه سازی پرواز ارائه شده بود [۳]. تا به امروز بیشتر کارهای تئوری و عملی انجام شده بر روی ربات‌های موازی ۳ درجه آزادی صفحه‌ای و یا ۶ درجه آزادی انجام گرفته است. اما در سال‌های اخیر، ربات‌های موازی با درجه آزادی کمتر از ۶ درجه (ربات‌های موازی با درجه آزادی محدود) مورد توجه قرار گرفته است [۴-۷]. ساختار مکانیزم‌ها باید دارای شرایطی باشد از جمله: سیستم مکانیکی باید از ساختار ساده‌ای

برای ارجاع به این مقاله از عبارت ذیل استفاده نماید:

M. Rajabi, M. Mahboubkhah , Design and analysis of workspace, singularities and configuration of a new parallel robot with four degrees of freedom, *Modares Mechanical Engineering, Proceedings of the Advanced Machining and Machine Tools Conference*, Vol. 15, No. 13, pp. 461-465, 2015 (in Persian)



شکل ۲ نمای دو بعدی مکانیزم

### ۱-۲- سینماتیک معکوس

با توجه به شکل ۲ برای محاسبه طول بردار  $L_{1i}$  داریم:

$$L_{1i}^2 = [(x_B - x_c)^2 + (y_B - y_c)^2 + (z_B - z_c)^2] \quad (3)$$

ساده سازی معادله فوق داریم:

$$S_i + A_i \cos \alpha_i + B_i \sin \alpha_i = 0 \quad (4)$$

با تغییر متغیر  $t = \tan(\frac{\alpha_i}{2})$  و جای گذاری در معادله (۴) :

$$S_i + A_i \left( \frac{1-t^2}{1+t^2} \right) + B_i \left( \frac{2t}{1+t^2} \right) = 0 \quad (5)$$

در نهایت با حل معادله فوق، با داشتن مختصات موقعیت مجری نهایی، زوایای مربوط به لینک های محرك از رابطه زیر بدست خواهد آمد. این معادلات در محیط نرم افزار متلب کدبندی شده و برای هر لینک معادله حل شده و چهار زاویه دوران لینک های محرك که توسط موتور حرکت داده می شوند محاسبه می شوند.

$$\alpha_i = 2 \tan^{-1} \left( \frac{-B_i \pm \sqrt{B_i^2 - (S_i - A_i)(S_i + A_i)}}{(S_i - A_i)} \right) \quad (6)$$

### ۲-۲- سرعت و ژاکوبین

ارتباط بین سرعت مفاسل و لینک ها در ربات ها مشابه روش سینماتیک انجام می شود. مفهوم سرعت با استفاده از یک بردار توصیف می شود که مشتق گیری تک تک مؤلفه ها را نشان می دهد. ژاکوبین ها میتوانند به صورت مستقیم از مشتق گیری معادلات سینماتیکی بدست آیند [۱۰-۴]. با

مشتق گیری از طرفین معادله (۲):

$$\dot{p} + \dot{b}_i + (b_i \times \omega_p) = \dot{a} + (L_{1i} \times \omega_{1i}) + (L_{2i} \times \omega_a) \quad (7)$$

$$V + (b_i \times \omega_p) = (L_{1i} \times \omega_{1i}) + (L_{2i} \times \omega_a) \quad (8)$$

با ضرب داخلی طرفین معادله در  $L_{1i}$  داریم و ساده سازی داریم:

$$\begin{bmatrix} L_{1i} \\ b_i \times L_{1i} \end{bmatrix} \cdot [V \omega_p] = \omega_a \cdot (L_{2i} \times L_{1i}) \quad (9)$$

$$J_x \dot{X} = J_q \dot{\alpha}_i \quad (10)$$

با ساده سازی روابط (۹) و (۱۰) و محاسبه  $i=1,2,3,4$  ماتریس ژاکوبین مستقیم به صورت رابطه (۱۱) می باشد.

$$J_q = \begin{bmatrix} L_{2iy} L_{1iz} - L_{2iz} L_{1iy} \\ L_{2iz} L_{1ix} - L_{2ix} L_{1iz} \\ L_{2ix} L_{1iy} - L_{1ix} L_{2iy} \end{bmatrix} = \begin{bmatrix} J_{1x} & J_{1y} & J_{1z} \\ J_{2x} & J_{2y} & J_{2z} \\ J_{3x} & J_{3y} & J_{3z} \\ J_{4x} & J_{4y} & J_{4z} \end{bmatrix} \quad (11)$$

به دلیل این که دوران فقط در راستای محور X می باشد مؤلفه های ماتریس ژاکوبین معکوس به صورت زیر قابل محاسبه می باشد.

$$J_x = \begin{bmatrix} L_{11x} & L_{11y} & L_{11z} & bl_{1x} \\ L_{12x} & L_{12y} & L_{12z} & bl_{2x} \\ L_{13x} & L_{13y} & L_{13z} & bl_{3x} \\ L_{14x} & L_{14y} & L_{14z} & bl_{4x} \end{bmatrix} = \begin{bmatrix} L_{11x} \\ L_{12x} \\ L_{13x} \\ L_{14x} \end{bmatrix} \times \begin{bmatrix} L_{11y} & L_{11z} & bl_{1x} \\ L_{12y} & L_{12z} & bl_{2x} \\ L_{13y} & L_{13z} & bl_{3x} \\ L_{14y} & L_{14z} & bl_{4x} \end{bmatrix} \quad (12)$$

برخورد بازوها به یکدیگر می باشد. ضمن این که این ربات ها در موقعیت های تکین ممکن است یک درجه آزادی غیرقابل کنترل بدست آورند و در نتیجه حرکت های غیر دلخواهی را بدست دهند [۹]. در این تحقیق مکانیزم موردنظر یک ربات موازی جدید، با چهار درجه دورانی حول محور X می باشد. ربات های شبیه مکانیزم پیشنهادی، دارای دوران حول محور Z می باشند که این درجه آزادی کاربرد چندانی نداشته و مکانیزم پیشنهادی دارای درجه آزادی مفیدتری می باشد. در این مکانیزم برای اتصال لینک ها از مفاصل کروی استفاده شده است. در این مقاله، ابتدا ساختار ربات پیشنهادی بهصورت متقاض در نظر گرفته شده و محاسبات سینماتیکی آن انجام و بررسی شده است. فضای کاری ربات با استفاده از روش الگوریتم جستجو طراحی شده است. برای حذف کامل تکینگی، که در آن دستگاه دارای درجات آزادی غیرقابل کنترل است، طرح متفاوتی از ساختار ربات، پیشنهاد و بررسی شده است.

### ۲- روابط سینماتیکی

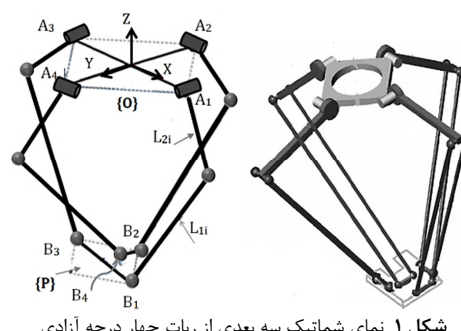
عموماً مطالعه سینماتیک، نقطه شروع استاندارد رباتیک است. در سینماتیک معکوس موقعیت زوایای پایه ها هدف دستیابی به موقعیت زوایه های هریک از چهار پایه با مشخص بودن موقعیت مکانی نقطه مرکزی سکوی متحرک نسبت به یک چارچوب مرجع می باشد [۱۰]. مفهوم سینماتیک مستقیم در پیدا کردن موقعیت مجری نهایی با داشتن موقعیت زوایای پایه ها محاسبه می شود می باشد. همانطور که در شکل ۱ و ۲ نشان داده شده است، طرح مکانیزم موردنظر شامل یک پایه ثابت (دستگاه مختصات {O}) و یک پایه متحرک (دستگاه مختصات {P}) می باشد که به وسیله بازو های  $L_{1i}$  و  $L_{2i}$  منتقل شده که در شکل ۲ با زاویه  $\alpha_i$  نشان داده شده است و در نهایت حرکت به سکوی متحرک ( مجری نهایی)، که در شکل با دستگاه مختصات {P} نشان داده شده است منتقل می شود. اگر ماتریس تبدیل دستگاه {O} به {P} به صورت زیر با  $p^T$  نشان داده شود:

$$p^T = \begin{bmatrix} 1 & 0 & 0 \\ 0 & \cos \theta_x & -\sin \theta_x \\ 0 & \sin \theta_x & \cos \theta_x \end{bmatrix} + \begin{bmatrix} Px \\ Py \\ Pz \end{bmatrix} \quad (1)$$

توجه به شکل ۲ داریم:

$$p + OB_i = a_i + L_{1i} + L_{2i} \quad (2)$$

در این رابطه  $L_{2i}$  بردار مربوط به بازوی محرك و  $L_{1i}$  بردار بازوی متحرک می باشد. بردار انتقال دستگاه مختصات مرجع به سکوی متحرک با  $p$  نشان داده شده است و  $OB_i$  بردار مربوط به محل اتصال لینک های  $L_{1i}$  به سکوی متحرک می باشد.



شکل ۱ نمای شماتیک سه بعدی از ربات چهار درجه آزادی

$$Z_{\min} = L_{1i} \cos \gamma_{1i} - L_{2i} \sin \alpha_{\max} \quad (17)$$

$$L_{1i} \cos \gamma_{1i} - L_{2i} \sin \alpha_{\max} = Z \quad (18)$$

$$a + L_{2i} \cos \alpha_{\max} - L_{1i} \sin \gamma_{1i} - bi = R_{\max} \quad (19)$$

$$L_{1i} \cos \gamma_{2i} + L_{2i} \sin \alpha_{\min} = Z \quad (20)$$

$$L_{1i} \sin \gamma_{2i} - L_{2i} \cos \alpha_{\min} - a + bi = R_{\max} \quad (21)$$

از حل دستگاه معادلات فوق در محیط برنامه نویسی متلب شاعع ماکریم فضای کاری بدست می‌آید. با بدست آوردن محدوده اولیه شاعع و ارتفاع اولیه، به وسیله الگوریتم جستجو تمام نقاط این محدوده جاروب شده و پس از چک کردن محدودیت‌های سینماتیکی و هندسی نقاطی که دارای شرایط مناسب هستند ذخیره می‌شوند.

### ۲-۳- تحلیل تکینگی

آنالیز ماتریس ژاکوبین نقش اساسی در در تحلیل و طراحی سیستم‌های رباتیکی ایفا می‌کند. با آنالیز ماتریس ژاکوبین می‌توان به نقاط تکین دست پیدا کرده و به تحلیل فضای کاری و مهارت ربات پرداخت. به همین دلیل آنالیز ماتریس ژاکوبین یکی از موضوعات اساسی در مطالعه ربات می‌باشد. در پیشتر بازوهای مکانیکی به ازای مقادیری از متغیرها ماتریس ژاکوبین تکین می‌شود. تکینگی معکوس زمانی که دترمینان ماتریس ژاکوبین معکوس بدست آمده مساوی صفر باشد رخ می‌دهد. تکینگی مستقیم زمانی رخ می‌دهد که دترمینان ماتریس ژاکوبین مستقیم صفر شود [۱۸-۲۴].

#### ۲-۳-۱- تجزیه ماتریس ژاکوبین به مقادیر تکین و تحلیل نقاط

هر ماتریس را می‌توان به صورت حاصل سه ماتریس  $USV^T$  بیان نمود، که در آن ماتریس‌های  $U$  و  $V$  ماتریس‌های دوران و ماتریس  $S$  ماتریس شامل مقادیر تکین ماتریس  $A$  است. ماتریس  $S$  شامل مقادیر تکین (۵۱ و ۵۲)، می‌باشد. نسبت بزرگترین به کوچکترین مقادیر تکین، به نام عدد شرط ماتریس  $(K)$  ماتریس ژاکوبین شناخته می‌شود [۱۸-۲۴]. عدد شرط به عنوان یکی از شاخص‌های عملکرد ربات محسوب می‌شود. نسبت بزرگترین به کوچکترین مقدار تکین، به نام عدد شرط  $(k)$  ماتریس ژاکوبین شناخته می‌شود.

$$k = \frac{\sigma_{\max}}{\sigma_{\min}} \quad (22)$$

شاخص شرط می‌تواند به صورت جزئی یا محلی (LCI) یا به صورت کلی (GCI) تعریف شود. شماره‌ی وضعيت مقداری بین یک و بی‌نهایت خواهد داشت ( $1 < k < \infty$ ). هر چقدر این مقدار به عدد یک نزدیک‌تر باشد، شرایط سینماتیکی مکانیزم مساعدتر و تعداد نقاط تکین کمتر خواهد بود. همچنین ضریب LDI (چالاکی محلی) که معکوس  $k$  می‌باشد، مقداری بین صفر و یک خواهد داشت. هرچه مقدار  $k$  محاسبه شده به عدد یک نزدیک‌تر باشد، آن نقطه از فضای کاری، شرایط مساعدتری از نظر تکینگی و سرعت پذیری را دارا می‌باشد. در این پروژه به طبق‌بندی نقاط فضای کاری، از نظر چالاکی محلی، پرداخته شده است. به این صورت که نقاط با مقادیر  $k$  مختلف دسته-بندی شده و هر ناحیه با رنگ مشخصی در فضای کاری نشان داده می‌شود. ترتیب شاخص چالاکی محلی (LDI) و شاخص چالاکی کلی (GDI) به صورت زیر تعریف می‌شوند.

$$LDI = \frac{1}{K} \quad (23)$$

$$GDI = \frac{\int \left(\frac{1}{k}\right) dw}{\int dw} \quad (24)$$

در رابطه ذکر شده مخرج کسر برابر با حجم فضای کاری می‌باشد. ضریب وضعیت کلی دارای مقداری بین صفر و یک است ( $0 \leq GCI \leq 1$ ). در حالت

در نهایت به معادله زیر خواهیم رسید.

$$\begin{bmatrix} L_{11x} & L_{11y} & L_{11z} & bl_{1x} \\ L_{12x} & L_{12y} & L_{12z} & bl_{2x} \\ L_{13x} & L_{13y} & L_{13z} & bl_{3x} \\ L_{14x} & L_{14y} & L_{14z} & bl_{4x} \end{bmatrix} \begin{bmatrix} v_x \\ v_y \\ v_z \\ \omega_x \end{bmatrix} = \begin{bmatrix} J_{1y} & 0 & 0 & 0 \\ 0 & J_{2x} & 0 & 0 \\ 0 & 0 & J_{3y} & 0 \\ 0 & 0 & 0 & J_{4x} \end{bmatrix} \begin{bmatrix} \dot{\alpha}_1 \\ \dot{\alpha}_2 \\ \dot{\alpha}_3 \\ \dot{\alpha}_4 \end{bmatrix} \quad (13)$$

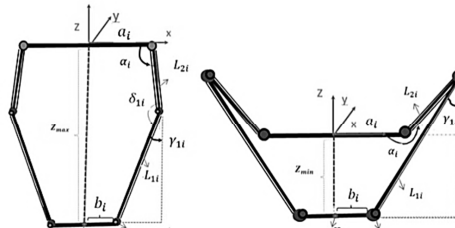
### ۳- طراحی و تحلیل فضای کاری

روش‌های متفاوتی برای محاسبه فضای کاری ارائه شده است، مانند روش گستته یا روش جستجوی نقاط که در این روش ابتدا فضای ممکن برای فضای کاری مکانیزم را شبکه‌بندی می‌نماییم و سپس برای تمام نقاط این شبکه، قیود سینماتیکی حاکم بر مکانیزم بررسی می‌شود. هر نقطه ای که قیود صادق باشد، متعلق به فضای کاری مکانیزم می‌باشد. همچنین روش هندسی، که در این روش مرزهای فضای کاری مکانیزم به طریق هندسی تعیین می‌گردد [۹،۸]. در این تحقیق به نوعی از تلفیق این دو روش برای طراحی فضای کاری مکانیزم استفاده شده است. به طوری که ابتدا از طریق روش‌های هندسی و محدودیت قرارگیری لینک‌ها، مرزهای اولیه فضای کاری تعیین شده و در این محدودیت با روش گستته، شبکه‌بندی شده و دیگر محدودیت‌ها از جمله قیود سینماتیکی و برخورد لینک‌ها برای تمام نقاط شبکه‌بندی شده بررسی می‌شود. ابتدا به روش هندسی، برای تعیین فضای موردنظر، بیشترین ارتفاع سکوی متحرک با قرار دادن ماکریم و مینیمم زاویه دوران  $\alpha$  مانند شکل ۳ بدل است. همچنین ماکریم شاعع قرارگیری نقطه  $p$  با حل معادلات (۱۸) تا (۲۱) در دستگاه معادلات توسط نرم‌افزار متلب بدست می‌آید. که به این ترتیب نقاط جستجو محدودتر شده و فضای تخمینی اضافی و خارج از قرارگیری سکو محاسبه نشده و زمان حل معادله کاهش می‌یابد.

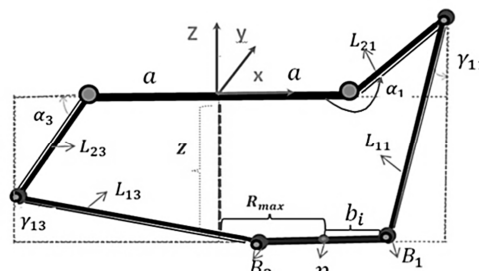
$$\gamma_{1i \min} = \sin^{-1} \left( \frac{a-b}{L_{1i}} \right) \quad (14)$$

$$Z_{\max} = L_{2i} + L_{1i} \cos \gamma_{1i} \quad (15)$$

$$\gamma_{1i \max} = \sin^{-1} \left( \frac{a-b+L_{2i} \cos \alpha i}{L_{1i}} \right) \quad (16)$$



شکل ۳ ارتفاع ماکریم و مینیمم با شاعع صفر



شکل ۴ قرارگیری سکو در بیشترین شاعع

فضای کاری و به جبران طول ناشی از جابجایی محل اتصال لینک چهارم، طول لینک چهارم را نسبت به سه لینک دیگر بلندتر در نظر گرفتیم (شکل ۷)، که در شکل لینک چهارم متمایز شده است.

#### ۵- نتیجه گیری

در این مقاله طراحی و تحلیل فضای کاری ربات چهار درجه آزادی مورد بررسی قرار گرفت. که شامل سه حرکت انتقالی و یک حرکت دورانی حول محور X می باشد. برای بالا بردن کیفیت عملکرد دستگاه و از بین بردن کاملاً نقاط تکین در فضای کاری، از ساختار نامتقارن و جدید در اتصال لینک های متحرك به سکوی متحرک استفاده شد. با تجزیه و تحلیل کامل نقاط، کیفیت و چالاکی هر ناحیه و کیفیت عملکرد کلی مشخص شد. در نهایت نتایج حاصل از تأثیر انتخاب پارامترهای مختلف در جدول ۱ و در ۹ سطح بررسی و گردآوری شده است. بعنوان نمونه، شکل فضای کاری با نواحی طبقه-پندی شده از نظر کیفیت عملکرد و چالاکی محلی در شکل ۸ نشان داده شده است. این نتایج، شکل تقریباً متقاضان فضای کاری و طبقه‌بندی نقاط قوی و ضعیف آن را از نظر چالاکی نشان می‌دهند. با شبیه‌سازی در نرم‌افزار سالیدورکس اندازه‌های اجزای انتخاب شده، بررسی و مورد تایید قرار گرفته است. با توجه به نتایج حاصل از تأثیر پارامترهای مختلف در کیفیت و اندازه مفید فضای کاری، ساختار بهینه مکانیزم انتخاب شده است. در ساختار نهایی، دستگاه مطلقاً دچار لغی نشده و درجه آزادی اضافی نخواهد داشت.

جدول ۱ تأثیر پارامترهای مختلف بر عملکرد مکانیزم						
L <sub>2i</sub>	L <sub>14</sub>	L <sub>1i</sub>	b <sub>4</sub>	b <sub>i</sub>	a <sub>i</sub>	شماره وضعیت
(i=1,2,3)				(i=1,2,3)		
۱۵۰	۳۲۰	۳۲۰	۶۵	۶۵	۱۷۰	۱
۱۵۰	۳۶۰	۳۲۰	-۶۵	۶۵	۱۷۰	۲
۱۵۰	۳۲۰	۳۲۰	-۶۵	۶۵	۱۷۰	۳
۱۳۰	۳۶۰	۳۲۰	-۸۵	۸۵	۱۸۰	۴
۲۶۰	۴۵۰	۳۸۰	-۳۵	۷۵	۱۹۰	۵
۲۳۰	۴۵۰	۴۰۰	-۳۵	۷۰	۱۸۵	۶
۲۲۵	۴۳۰	۴۰۰	-۱۵	۷۰	۱۸۵	۷
۱۸۵	۳۶۰	۳۲۰	-۱۵	۷۰	۱۶۵	۸
۱۸۵	۳۸۰	۳۶۰	-۱۵	۷۰	۱۸۰	۹

ادامه جدول ۱

GDI	Z mm	R <sub>max</sub> mm	شماره وضعیت
۰/۰۰۱۹۱۳۵۹	(-۱۳۶)(-۴۳۶)	۲۰۰	۱
۰/۰۰۶۳۷۹۰۰۲	(-۱۲۳)(-۴۲۶)	۲۰۰	۲
۰/۰۰۶۶۳۰۸۰	(-۱۳۶)(-۴۰۶)	۲۰۰	۳
۰/۰۰۵۸۲۱۳۶	(-۱۳۸)(-۴۷۸)	۲۳۰	۴
۰/۰۰۶۷۵۲۰۸	(-۴۶)(-۵۹۶)	۲۴۰	۵
۰/۰۰۷۰۹۶۱۶	(-۱۲۶)(-۵۸۷)	۲۵۶	۶
۰/۰۰۷۲۶۱۴	(-۱۳۳)(-۵۸۳)	۲۵۶	۷
۰/۰۰۷۱۵۶۵۹	(-۹۶)(-۴۶۶)	۲۰۰	۸
۰/۰۰۸۹۳۳۰۴	(-۱۳۸)(-۵۱۸)	۲۳۰	۹

ایده‌آل مقدار این ضریب برابر یک است [۱۲، ۱۳]. با توجه توضیحات ذکر شده در مورد تجزیه و تفکیک ماتریس ها، ماتریس ژاکوبین که با معادله (۲۵) نشان داده می‌شود:

$$\mathbf{J} = \mathbf{J}_x^{-1} \mathbf{J}_q \quad (25)$$

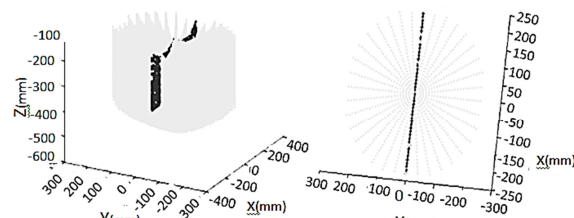
$$\mathbf{J} = \mathbf{U}\mathbf{S}\mathbf{V}^T \quad (26)$$

#### ۴- انتخاب طراحی بهینه مکانیزم ربات

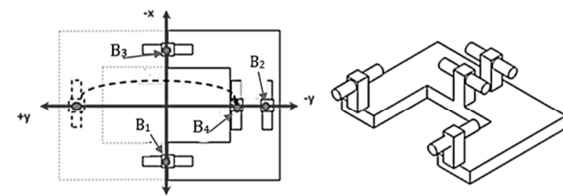
طرح مورد نظر برای مکانیزم چهار درجه آزادی، ابتدا به صورت کاملاً متقاضان در نظر گرفته شد و نقاط تکین و چالاکی این طرح در محیط برنامه نویسی متلب مورد بررسی قرار گرفت. که در این شکل از مکانیزم نقاط تکین بر روی صفحه ۰=۰ قرار می‌گیرد (شکل ۵). در این نقاط مکانیزم دچار لغی شده و درجه آزادی اضافی و غیرقابل کنترل به ربات اعمال می‌شود.

به منظور کاهش و حذف نقاط تکین و نقاطی که برخورد لینک‌ها وجود داشت، تغییراتی در ساختار طرح مکانیزم پیشنهاد شد، که اساس آن بر اعمال عدم تقارن می‌باشد. این عدم تقارن در موقعیت اتصال لینک رنجی اعمال شد و نتایج آن در محیط متلب بررسی شد. در این طرح ساختار سکوی متحرک مانند شکل ۶ در نظر گرفته شد و محل اتصال لینک چهارم در راستای محور Y (عمود بر جهت دوران) جایجا شده و به محل اتصال لینک دوم نزدیک شده است. که با توجه به نتایج حاصل از حل ماتریس ژاکوبین و تکینگی، نقاط تکین، در فضای کاری به کلی حذف می‌شود.

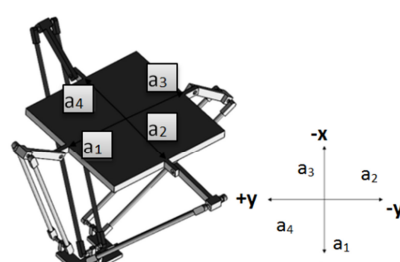
در این طرح پیشنهادی علیرغم حذف نقاط تکین و افزایش ضریب کیفیت عملکرد و افزایش چالاکی مکانیزم، به منظور جبران عدم تقارن در شکل



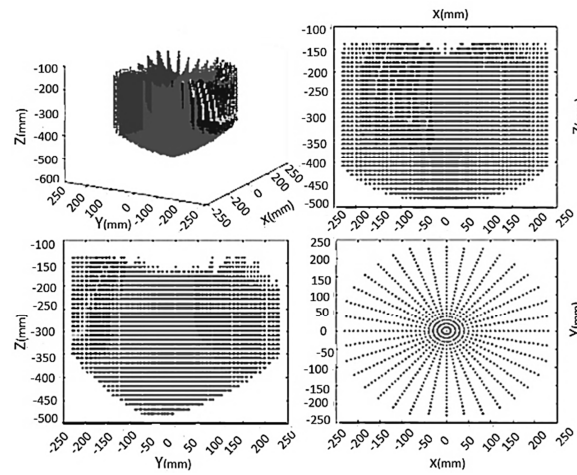
شکل ۵ نقاط تکین در فضای کاری ربات با پیکربندی متقاضان



شکل ۶ طرح سکوی متحرک



شکل ۷ طرح شبیه‌سازی شده مکانیزم



شکل ۸ فضای کار طبقه بندی شده مکانیزم در زاویه دید مختلف

## - ۶ - مراجع

- [1] X. Kong and C. Gosselin. *Type Synthesis of Parallel Mechanisms*. Springer Verlag, 2007.
- [2] J. E. Gwinnnett. Amusement Device, 1931. US Patent 1,789,680.
- [3] I.A. Bonev, *The true origins of parallel robots*. <http://www.parallelmechanics.org/Reviews/Review007.html>, 2003.
- [4] C. Gosselin, M. Tale Masouleh, V. Duchaine, P. L. Richard, S. Foucault, and X. Kong. Parallel Mechanisms of the Multiparallel Family: Kinematic Architectures and Benchmarking. In IEE International Conference on Robotics and Automation, pages 555–560, 2007.
- [5] M. Kaviany, Heat transfer in porous media, in: W. M. Rohsenow, J. P. Hartnett, Y. I. Cho (Eds.), *Handbook of Heat Transfer*, pp. 9.32-9.43, New York: McGraw-Hill, 1998.
- [6] S. A. Joshi and L. W. Tsai. Jacobian Analysis of Limited-DOF Parallel Manipulators. *Journal of Mechanical Design*, 124(2):254–258, 2002
- [7] Adept Technology Inc, Adept robotics for packaging, Production Brochure,<http://www.adept.com>, 2008.
- [8] M.A.khosravi. Modeling and Robust Control redundant parallel robot Flexible cables. Department of Electrical and Computer Engineering Khajeh Nasir University.
- [9] M.H.saadatzi. Modeling and control of redundant parallel robots resistant flexible cables. Department of Electrical and Computer Engineering Khajeh Nasir University.
- [10] H. Li, C.M. Gosselin, M.J. Richard and B.M. St-Onge, Analytic form of the Six-Dimensional singularity locus of the general Gough-Stewart Platform. *Transactions of the ASME. Journal of Mechanical Design*, Vol. 128, no.1, p 279-87, 2006.
- [11] D. Stewart, A platform with six degree of freedom. in Proceedings of the Institution of Mechanical Engineers, vol. 180, no.1, p 371-86, 1965.
- [12] J. K. Salisbury, J. J. Craig, Articulated hands: Force control and kinematic issues, *The International Journal of Robotics Research*, Vol. 1, No. 1, pp. 4-17, 1982.
- [13] R. E. Stamper, L. W. Tsai, G. C. Walsh, Optimization of a three DOF translational platform for well-conditioned workspace, *IEEE International Conference. On Robotics and Automation*, Vol. 4, pp. 3250-3255, 1997.
- [14] H. D. Taghirad, Parallel Robots Course Lecture Notes., Fall 2008.